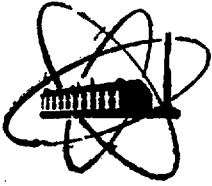


ФЭИ-741



**ФИЗИКО-ЭНЕРГЕТИЧЕСКИЙ ИНСТИТУТ**

SV № 09943

*В. Б. БОГУШ, В. В. ВАХРОМЕЕВА,  
В. Е. КОЛЕСОВ, Ю. И. ЛИХАЧЕВ*

**Решение задачи кинетики  
напряженно-деформированного состояния  
цилиндрических ТВЭЛов с тонкостенными  
оболочками**

ЕМ

**Обнинск — 1977**

ФИЗИКО-ЭНЕРГЕТИЧЕСКИЙ ИНСТИТУТ

В.Б.Богущ, В.В.Вахромеева,  
В.Е.Колесов, Ю.И.Лихачев

РЕШЕНИЕ ЗАДАЧИ КИНЕТИКИ  
НАПРЯЖЕННО-ДЕФОРМИРОВАННОГО СОСТОЯНИЯ  
ЦИЛИНДРИЧЕСКИХ ТВЁЛОВ С ТОНКОСТЕННЫМИ ОБОЛОЧКАМИ

Обнинск - 1977

## АННОТАЦИЯ

Описывается алгоритм решения задачи кинетики напряженно-деформированного состояния твэла, основанный на методе конечных разностей. Нелинейная зависимость между напряжениями и деформациями сводится к системе трансцендентных уравнений для функций, содержащих эту зависимость. Для улучшения устойчивости разностной схемы и сходимости метода прогонки при решении конечно-разностных уравнений вводится некоторый параметр регуляризации.

Рассматриваются цилиндрические осесимметричные стержневые (оплошные и полые) и кольцевые твэлы с тонкостенными оболочками. Вычисления проводятся с учетом деформаций пластичности и ползучести, распухания топлива и материала оболочки, давления теплоносителя и неравномерности температурного поля. Приводятся результаты расчетов.

1. Изучение работоспособности и надежности теплоделяющих элементов ядерного реактора приводит к необходимости рассмотрения напряжений и деформаций, возникающих в элементах твэла при его работе.

Рассмотрим задачу о напряженно-деформированном состоянии цилиндрических стержневых (сплошных и с внутренней полостью) и кольцевых твэлов с металлическим топливом и тонкостенными оболочками. В процессе работы твэл испытывает воздействие меняющихся во времени внутренних сил, обусловленных распуханием топлива и конструкционных материалов, давления теплоносителя и неравномерного по радиусу температурного поля. Будем предполагать, что между оболочкой и сердечником твэла, не возникает осевых и окружных смещений. Ограничимся случаем осевой симметрии и плоской деформации. Последнее допущение справедливо при небольших температурных градиентах по длине твэла.

Система уравнений, описывающая напряженно-деформированное состояние твэла, включает:

1.1. Уравнение равновесия

$$\frac{d\sigma_z}{dz} + \frac{\sigma_r - \sigma_\theta}{r} = 0 \tag{1}$$

с граничными условиями

$$\sigma_r = -p_{вн}(t) \quad \text{при} \quad z = R_1 \tag{2}$$

$$\sigma_r = -p_n(t) \quad \text{при} \quad z = R_4$$

для кольцевого или стержневого твэла с осевой полостью,

$$\sigma_z = \sigma_\theta \quad \text{при} \quad z = 0 \tag{3}$$

$$\sigma_z = -p_n(t) \quad \text{при} \quad z = R_4$$

для стержневого (сплошного) твэла. Здесь и в дальнейшем  $R_1, R_2, R_3, R_4$  - радиусы, в порядке возрастания, внутренней и наружной оболочек твэла; для твэла с полостью  $-R_1 = R_2$ ;  $p_{вн}, p_n$  - давления теплоносителя на внутреннюю и наружную оболочки, для твэла с осевой полостью  $p_n$  - давление газов в полости.

1.2. Уравнение совместности деформаций

$$\frac{d\varepsilon_\theta}{dz} + \frac{\varepsilon_\theta - \varepsilon_z}{z} = 0 \tag{4}$$

1.3. Физические зависимости между напряжениями и деформациями, которые запишем в виде /1,2/

$$\begin{aligned} \varepsilon_{zj} &= \frac{1}{E} [\sigma_{zj} - \mu(\sigma_{\theta j} + \sigma_{rj})] + \alpha_r T + \varepsilon_{zj-1}^z + \Delta \varepsilon_{zj}^z, \\ \varepsilon_{\theta j} &= \frac{1}{E} [\sigma_{\theta j} - \mu(\sigma_{zj} + \sigma_{rj})] + \alpha_r T + \varepsilon_{\theta j-1}^z + \Delta \varepsilon_{\theta j}^z, \\ \varepsilon_{rj} &= \frac{1}{E} [\sigma_{rj} - \mu(\sigma_{zj} + \sigma_{\theta j})] + \alpha_r T + \varepsilon_{rj-1}^z + \Delta \varepsilon_{rj}^z, \end{aligned} \quad (5)$$

где

$$\varepsilon_{zj-1}^z = \varepsilon_{zj-1}^p + \varepsilon_{zj-1}^c + \varepsilon_{zj-1}^v, \quad (6)$$

$$\Delta \varepsilon_{zj}^z = \Delta \varepsilon_{zj}^p + \Delta \varepsilon_{zj}^c + \Delta \varepsilon_{zj}^v. \quad (7)$$

Соотношения, аналогичные (6), (7), справедливы также для величин  $\varepsilon_{\theta j-1}^z$ ,  $\varepsilon_{rj-1}^z$  и  $\Delta \varepsilon_{\theta j}^z$ ,  $\Delta \varepsilon_{rj}^z$ . Здесь  $\varepsilon^p$ ,  $\varepsilon^c$ ,  $\varepsilon^v$  - компоненты пластической, вязкой и "объемной", вызванной распуханием топлива или оболочки, деформаций;  $\alpha_r T$  - температурная деформация.

Компоненты пластической, вязкой и "объемной" деформаций будем определять как сумму их приращений на отдельных этапах нагружения  $\Delta \varepsilon_j = \varepsilon_j - \varepsilon_{j-1}$ . Эти приращения находятся из соответствующих физических соотношений.

1.4. Для случая пластической деформации согласно /3/ имеем

$$d\varepsilon_z^p = \frac{3}{2} \frac{\sigma_z - \sigma_0}{\sigma_i} d\alpha^p, \quad d\varepsilon_{\theta}^p = \frac{3}{2} \frac{\sigma_{\theta} - \sigma_0}{\sigma_i} d\alpha^p, \quad d\varepsilon_r^p = \frac{3}{2} \frac{\sigma_r - \sigma_0}{\sigma_i} d\alpha^p, \quad (8)$$

где

$$\sigma_0 = \frac{1}{3} (\sigma_z + \sigma_{\theta} + \sigma_r), \quad (9)$$

$$\sigma_i = \frac{1}{\sqrt{2}} \sqrt{(\sigma_z - \sigma_{\theta})^2 + (\sigma_{\theta} - \sigma_r)^2 + (\sigma_z - \sigma_r)^2}. \quad (10)$$

Кривая пластического деформирования представляется в виде

$$\sigma_s = \sigma_r + E_p (\alpha^p + \alpha_0)^n \quad (11)$$

и приращение накопленной пластической деформации  $\alpha^p$  определяется следующим образом

$$\begin{aligned} d\alpha^p &= 0 && \text{при } \sigma_{ij} \leq \sigma_{sj}, \\ d\alpha^p &= \frac{1}{E} (\sigma_{ij} - \sigma_{sj}) && \text{при } \sigma_{ij} > \sigma_{sj}. \end{aligned} \quad (12)$$

1.5. Для определения деформаций ползучести используем зависимость /3/

$$\frac{d\varepsilon_z^c}{dt} = \frac{3}{2} \frac{\sigma_z - \sigma_0}{\sigma_i} \frac{d\alpha^c}{dt}, \quad \frac{d\varepsilon_{\theta}^c}{dt} = \frac{3}{2} \frac{\sigma_{\theta} - \sigma_0}{\sigma_i} \frac{d\alpha^c}{dt}, \quad \frac{d\varepsilon_r^c}{dt} = \frac{3}{2} \frac{\sigma_r - \sigma_0}{\sigma_i} \frac{d\alpha^c}{dt}, \quad (13)$$

где скорость накопленной деформации ползучести  $\frac{d\epsilon^c}{dt}$  представим как сумму "тепловой" и "радиационной" составляющих процесса ползучести,

$$\frac{d\epsilon^c}{dt} = \frac{d\epsilon_r^c}{dt} + \frac{d\epsilon_v^c}{dt} \quad (14)$$

По теории течения эти составляющие запишем в виде

$$\frac{d\epsilon_r^c}{dt} = B(T, t) \sigma_i^{m_r} \quad (15)$$

- "тепловая" составляющая,

$$\frac{d\epsilon_v^c}{dt} = A(T, t, \varphi_n) (\sigma_i + B_v \sigma_i^{m_v}) \quad (16)$$

- "радиационная" составляющая скорости ползучести.

Здесь  $\varphi_n$  - плотность потока нейтронов с энергией  $E > E_0$ .

1.6. "Объемные" деформации определяем из соотношений

$$\frac{d\epsilon_r^v}{dt} = \delta_r \frac{dS}{dt}, \quad \frac{d\epsilon_\theta^v}{dt} = \delta_\theta \frac{dS}{dt}, \quad \frac{d\epsilon_z^v}{dt} = \delta_z \frac{dS}{dt}, \quad (17)$$

где  $S$  - функция распухания топлива (оболочки),  $\delta_r, \delta_\theta, \delta_z$  - коэффициенты, характеризующие направленность процесса распухания.

Распухание топлива  $S$  определяется по модели "сферических газовых пор" [2]. Скорость распухания представим в виде

$$\frac{dS}{dt} = \frac{1+S}{1+S_r} \frac{dS_r}{dt} + \frac{3}{2} \left( \frac{3}{2m^*} \right)^{m^*} B^*(T) J / J^{m^*-1}, \quad (18)$$

где  $S_r = K_r(t) B_g(t) / (1 - \epsilon)$ ,

$$J = \frac{P_a - P_g - \frac{2\gamma}{a_0} \left( \frac{\epsilon}{S + \epsilon + \epsilon S_r - S_r} \right)^{1/3}}{\left( \frac{1+S}{S + \epsilon + \epsilon S_r - S_r} \right)^{1/m^*} - 1}$$

Здесь  $\epsilon$  - пористость топлива,  $B_g(t)$  - выгорание топлива.

$P_a$  - давление газов деления в порах - определяется как

$$P_a = \frac{0,09 T B_g(t) \varphi}{S + \epsilon - B_g(t) K_r(t)} \quad (19)$$

где  $\varphi$  - доля газов деления, собирающихся в порах,

$$P_g = -\frac{1}{3} (\sigma_r + \sigma_\theta + \sigma_z) \dots \quad (20)$$

Согласно [2], [4] скорость распухания материала оболочки представим в виде

$$\frac{dS_g}{dt} = \frac{dS_k(T, \Phi)}{dt} + F_\varphi^*(T, \varphi_n, t, \sigma, S_k^{1/3}, S_g^{2/3}), \quad (21)$$

где  $dS_k(T, \Phi)/dt$  - скорость свободного распухания материала вследствие образования пор, зависящая от температуры и дозы облучения  $\Phi$ ,

$f_{\varphi}^*(T, \varphi, t, \sigma, S_{\kappa}^{1/3}, S_{\sigma}^{2/3})$  - скорость роста пор под действием гидростатического напряжения  $\sigma_0$ .

Конкретный вид зависимостей  $dS_{\kappa}(T, \varphi)/dt$  и  $f_{\varphi}^*(T, \varphi, t, \sigma, S_{\kappa}^{1/3}, S_{\sigma}^{2/3})$  ввиду их громоздкости здесь не приводится, см. работы [2], [4].

1.7. Приведенные уравнения необходимо дополнить условием равновесия вдоль оси твэла

$$\int_{R_1}^{R_4} \sigma_z z dz = \frac{1}{2} (\rho_{in} R_1^2 - \rho_n R_4^2) + \frac{P_z}{2\pi} \quad (22)$$

Для расчета тонкостенных оболочек можно принять, что  $\epsilon_r$  и  $\epsilon_{\theta}$  не зависят от координат по радиусу. В этом случае уравнения (1)-(4) заменяются на условия равновесия

$$\int_{R_3}^{R_4} \sigma_{\theta} dz + \sigma_z^*(R_3) R_3 + \rho_n R_4 = 0, \quad (23)$$

$$\int_{R_1}^{R_2} \sigma_{\theta} dz - \sigma_z^*(R_2) R_2 - \rho_n R_1 = 0$$

и условия

$$\epsilon_{\theta n} = \epsilon_{\theta}^*(R_3), \quad \epsilon_{\theta kn} = \epsilon_{\theta}^*(R_2).$$

Индекс (\*) показывает, что соответствующие деформации и напряжения относятся к топливному сердечнику.

2. Для реализации численного алгоритма преобразуем (5) к следующему виду:

$$\epsilon_{zj} = a_j \sigma_{zj} - b_j (\sigma_{\theta j} + \sigma_{zj}) + \psi_{zj-1} + \delta_z S_j, \quad (24)$$

$$\epsilon_{\theta j} = a_j \sigma_{\theta j} - b_j (\sigma_{zj} + \sigma_{\theta j}) + \psi_{\theta j-1} + \delta_{\theta} S_j,$$

$$\epsilon_{zj} = a_j \sigma_{zj} - b_j (\sigma_{zj} + \sigma_{\theta j}) + \psi_{zj-1} + \delta_z S_j,$$

где были использованы следующие обозначения

$$\psi_{zj-1} = \psi_{zj-2} + \frac{\Delta t_{j-1}}{2} (2\sigma_{zj-1} - \sigma_{\theta j-1} - \sigma_{zj-1}) \{ \psi_{zj-1} (1 + \nu_{\varphi} \sigma_{zj-1}^{m_{\varphi}-1}) + \psi_{zj-1} \sigma_{zj-1}^{m_{\varphi}-1} \} + \Delta \epsilon_{zj-1}, \quad (25)$$

$$\psi_{z0} = \alpha_r T + \frac{\Delta t_0}{4} (2\sigma_{z0} - \sigma_{\theta 0} - \sigma_{z0}) \{ \psi_{z0} (1 + \nu_{\varphi} \sigma_{z0}^{m_{\varphi}-1}) + \psi_{z0} \sigma_{z0}^{m_{\varphi}-1} \}. \quad (26)$$

$\psi_{zj-1}, \psi_{zj-1}, \psi_{\theta 0}, \psi_{z0}$  - получаются циклической перестановкой индексов;

$$\psi_{1j} = A(T, t_j, \varphi_n), \quad \psi_{2j} = B(T, t_j),$$

$$a_j = \frac{1}{E} + \frac{\Delta t_j}{2} [ \psi_{1j} (1 + \nu_{\varphi} \sigma_{1j}^{m_{\varphi}-1}) + \psi_{2j} \sigma_{1j}^{m_{\varphi}-1} ], \quad (27)$$

$$b_j = \frac{\mu}{E} + \frac{\Delta t_j}{4} [ \psi_{1j} (1 + \nu_{\varphi} \sigma_{1j}^{m_{\varphi}-1}) + \psi_{2j} \sigma_{1j}^{m_{\varphi}-1} ].$$

Вводя обозначения

$$\Phi_{zj} = \epsilon_{zj} - \Psi_{zj-1} - \delta_z S_j,$$

$$\Phi_{\theta j} = \epsilon_{\theta j} - \Psi_{\theta j-1} - \delta_\theta S_j,$$

$$\Phi_{zj} = \epsilon_{zj} - \Psi_{zj-1} - \delta_z S_j$$

и преобразуя (10)

$$\sigma_{ij} = \frac{1}{\sqrt{2}} \frac{\sqrt{(\Phi_{zj} - \Phi_{\theta j})^2 + (\Phi_{\theta j} - \Phi_{zj})^2 + (\Phi_{zj} - \Phi_{zj})^2}}{a_j + b_j} \quad (28)$$

получим систему уравнений для определения  $a_j + b_j$  с последующим вычислением коэффициентов  $a_j$  и  $b_j$

$$a_j + b_j = \frac{1+\mu}{E} + \frac{3}{4} \Delta t_j \Psi_{ij} + \frac{3}{4} \Delta t_j \nu_{ij} \Psi_{ij} \left[ \frac{\sqrt{(\Phi_{zj} - \Phi_{\theta j})^2 + (\Phi_{\theta j} - \Phi_{zj})^2 + (\Phi_{zj} - \Phi_{zj})^2}}{\sqrt{2} (a_j + b_j)} \right]^{m_{ij}-1} + \frac{3}{4} \Delta t_j \Psi_{ij} \left[ \frac{\sqrt{(\Phi_{zj} - \Phi_{\theta j})^2 + (\Phi_{\theta j} - \Phi_{zj})^2 + (\Phi_{zj} - \Phi_{zj})^2}}{\sqrt{2} (a_j + b_j)} \right]^{m_{ij}-1} \quad (29)$$

Полученная система трансцендентных уравнений позволяет обойти сложности, связанные с решением систем нелинейных дифференциальных уравнений.

3. Систему уравнений (1)-(4), используя (24), приводим к следующему виду:

$$\frac{d}{dz} a_j \frac{d\sigma_{zi}}{dz} - \frac{d b_j \sigma_{zi}}{dz} + c_j (1-\delta) \frac{d\sigma_{zi}}{dz} - c_j \delta \frac{\sigma_{zi}}{z} = \frac{d b_j \sigma_{zi}}{dz} - c_j \delta \frac{\sigma_{zi}}{z} - \frac{d}{dz} [\Psi_{\theta j-1} + \delta_\theta S_j], \quad (30)$$

$$\frac{d}{dz} a_j \sigma_{\theta j} - \frac{d b_j (\sigma_{zi} + \sigma_{zi})}{dz} + \frac{c_j (\sigma_{\theta j} - \sigma_{zi})}{z} = - \frac{d}{dz} (\Psi_{\theta j-1} + \delta_\theta S_j), \quad (31)$$

где  $\delta$  - параметр регуляризации, который выбирается из решения модельной задачи таким образом, чтобы аналитическое решение дифференциального уравнения модельной задачи совпадало с аналитическим и численными решениями разностного уравнения, соответствующего этому дифференциальному уравнению.

Соответствующая разностная система имеет вид

$$\sigma_{zj k+1} - b_{j k+1}^{(1)} \sigma_{zj k+1} + c_{j k+1}^{(1)} \sigma_{zj k} = f_{j k+1}^{(1)}, \quad (32)$$

$$\sigma_{\theta j k+1} = \frac{c_{j k}^{(2)}}{b_{j k}^{(2)}} \sigma_{\theta j k} + \frac{f_{j k}^{(2)}}{b_{j k}^{(2)}} \quad (33)$$

Конечные уравнения для решения системы (32) методом прогонки /5/ напишем в следующем виде

$$\sigma_{z_{k+1}} = \chi_{k+1} \sigma_{z_{k+2}} + \gamma_{k+1} \sigma_{z_0} - \mathcal{Z}_{k+1}, \quad (34)$$

$$\chi_{k+1} = \frac{1}{B_{k+1}^{(2)} - C_{k+1}^{(2)} \chi_k}, \quad \gamma_{k+1} = C_{k+1}^{(2)} \chi_k \gamma_k, \quad \mathcal{Z}_{k+1} = \chi_{k+1} [C_{k+1}^{(2)} \mathcal{Z}_k + f_{k+1}^{(2)}] \quad (35)$$

с начальными условиями:

$$\chi_0 = 0, \quad \gamma_0 = 1, \quad \mathcal{Z}_0 = 0, \quad \sigma_{z_N} = \varphi_1,$$

которые соответствуют условию, что рассматривается топливный сердечник с полостью и внешней тонкостенной оболочкой,  $z = R_1 = R_2$   
 $\sigma_{z_0} = -p_r$  (давление газа в полости),  $z = R_3$   $\sigma_{z_N} = \varphi_1$ ,  
 где

$$\varphi_1 = -\frac{1}{R_3} \left( \int_{R_3}^{R_4} \sigma_{\theta} dz + p_r R_4 \right);$$

$$\chi_0 = 0, \quad \gamma_0 = 1, \quad \mathcal{Z}_0 = 0, \quad \sigma_{z_N} = \varphi_1,$$

которые соответствуют условию, что рассматривается топливный сердечник с внутренней и наружной тонкостенными оболочками,

$$z = R_2 \quad \sigma_{z_0} = \varphi_2, \quad z = R_3 \quad \sigma_{z_N} = \varphi_1,$$

где

$$\varphi_2 = -\frac{1}{R_2} \left( \int_{R_1}^{R_2} \sigma_{\theta} dz + p_{sN} R_1 \right);$$

$$\chi_0 = 1, \quad \gamma_0 = 0, \quad \mathcal{Z}_0 = 0, \quad \sigma_{z_N} = \varphi_1,$$

которые соответствуют условию, что рассматривается сплошной топливный сердечник с наружной тонкостенной оболочкой,

$$z = 0 \quad \sigma_{z_0} = \sigma_{\theta_0}, \quad z = R_3 \quad \sigma_{z_N} = \varphi_1.$$

Граничное условие для разностного уравнения (33) имеет вид:

$$z = 0 \quad \sigma_{z_0} = \sigma_{\theta_0}$$

- для сплошного топливного сердечника

$$\sigma_{z_0} = \sigma_{\theta_0} = \frac{(1 + \frac{\Delta z_1}{2z_{1/2}}) \sigma_{z_1} - (1 - \frac{\Delta z_1}{2z_{1/2}}) \sigma_{z_0} - \frac{f_1^{(2)}}{B_1^{(2)}}}{\frac{\Delta z_1}{2z_{1/2}} (1 + \frac{C_1^{(2)}}{B_1^{(2)}})} \quad 1 + \frac{C_1^{(2)}}{B_1^{(2)}}$$

- для кольцевого топливного сердечника.

4. Для вычисления радиальной и тангенциальной составляющих деформаций и осевого напряжения в топливном сердечнике используются уравнения (24), осевая деформация определяется из условия равенства нулю главного вектора осевых усилий. Функцию разбухания топлива будем вычислять из её разложения в ряд Тейлора, ограничиваясь тремя членами ряда

$$S_{j+1} = S_j + \frac{dS}{dt_{j+1/2}} \Delta t_j + \frac{d^2 S}{dt_{j+1/2}^2} \cdot \frac{\Delta t_j^2}{2},$$

где производные вычисляются с помощью исходного уравнения распухания.

Из рассмотренной разностной системы уравнений с помощью последовательных приближений вычисляются функции распухания, напряжения и деформации в топливном сердечнике и оболочках. Для улучшения сходимости последовательных приближений при решении уравнений методом прогонки использовался параметр регуляризации.

5. В качестве примера приведём некоторые результаты расчётов 3-х типов твэлов (стержневого со сплошным и полым топливным сердечником и кольцевого). Материал оболочки - нержавеющая сталь ( $\alpha_T = 18 \cdot 10^{-6}$  1/град), материал сердечника - металлический уран ( $\alpha_T = 21 \cdot 10^{-6}$  1/град).

Учитывается распухание топлива и давление теплоносителя. Распухание оболочек не учитывается. Для описания пластических деформаций оболочки используется диаграмма деформирования с линейным упрочнением. Сердечник - идеально упругий.

При выходе на мощность ( $\dot{t} \approx 0$ ) за счёт разницы температурных деформаций сердечник деформируется упруго, а оболочка испытывает упруго-пластическое нагружение.

На рис. 1 и 2 приведено распределение напряжений и деформаций ползучести по сечению сплошного сердечника стержневого твэла для разных моментов времени. Распределение напряжений  $\sigma_r$  и  $\sigma_z$  ( $\sigma_z \approx 0$ ) по толщине оболочки (не приводится) имеет линейный характер в соответствии с заданным законом изменения температуры. В течение первых нескольких часов работы происходит сильная релаксация напряжений как в сердечнике, так и в оболочке. Поэтому в таких случаях при оценках работоспособности твэлов с большим ресурсом повреждаемостью от кратковременного действия высоких начальных напряжений можно пренебречь. Напряжения в твэле снижаются до 2200 часов, после чего начинают возрастать. Это объясняется действием распухающего топлива, которое начиная с этого момента постоянно нагружает оболочку. Распределение распухания по сечению сердечника показано на рис. 3. В первые часы работы распухание в центре сердечника отрицательно, так как величина гидростатического сжатия превосходит давление газов деления в порах топлива. Последующее снижение величины гидростатического сжатия и постепенный рост

давления газов приводят к постепенному росту распухания, причём распухание в центре сердечника идёт быстрее вследствие более высокой температуры.

На рис.4 и 5 дано распределение напряжений, соответственно, для полого сердечника и сердечника кольцевого твэла. Твэл с полым сердечником нагружен изнутри давлением газа 100 ат. Распухание топлива учитывается и в этих случаях, но за указанный период времени не успело "проработать", как в I-м случае.

На рис.6 показано, как изменяются окружные напряжения в оболочке (для одной точки на внешней поверхности) в зависимости от времени. Видно, что для стержневого сплошного твэла напряжения снижаются (релаксируют) до 3000 часов, после чего под действием распухающего топлива начинают постепенно возрастать.

Разработанная программа расчета напряжений и деформаций позволяет уточнить границы применения упрощенных методов расчёта, используемых на практике для многочисленных инженерных расчетов твэлов различных реакторов.

#### Литература

1. *Yalch J.P., McConneelee J.E., Plane strain creep and plastic deformation analysis of a composite tube, Nucl. Eng. and Design, vol. 5, No. 1, 1967.*
2. Ю.И.Лихачёв, В.Я.Пупко. Прочность теплоделяющих элементов ядерных реакторов. Атомиздат, М., 1975.
3. Н.Н.Малинин, Прикладная теория пластичности и ползучести. "Машиностроение", М., 1968.
4. *Boltax A. et al., Mixed-oxide fuel pin performance analysis using the OLYMPUS computer code, Proceedings of the conference, Fast reactor fuel element technology, New Orleans, 1971.*
5. С.К.Годунов, В.С.Рябенский, Введение в теорию разностных схем. ГИ ФМЛ, М., 1962.

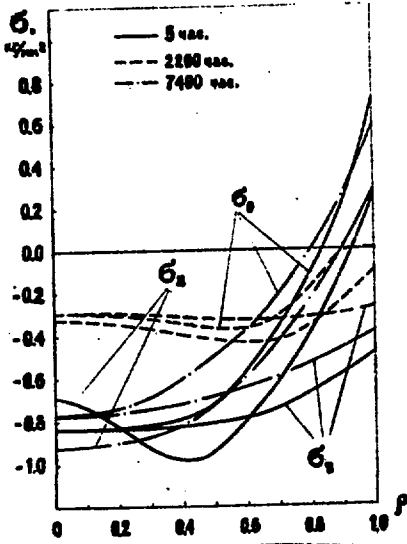


Рис. 1.

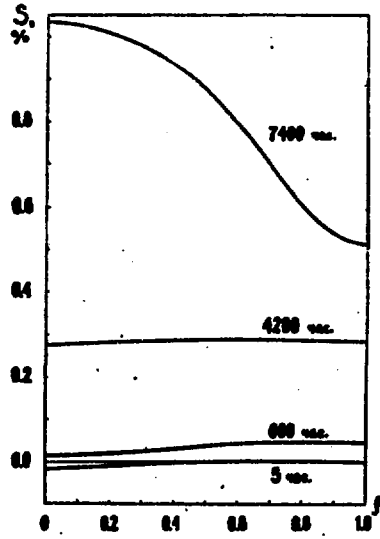


Рис. 3.

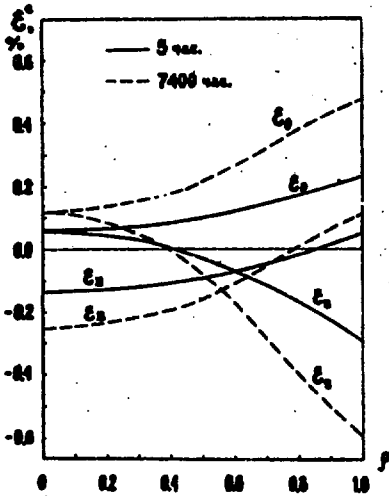


Рис. 2.

Распределение по сечению  
сплошного сердечника  
отерживаемого твэла:

Рис. 1 - напряжений,  
Рис. 2 - деформаций ползучести,  
Рис. 3 - распухания.

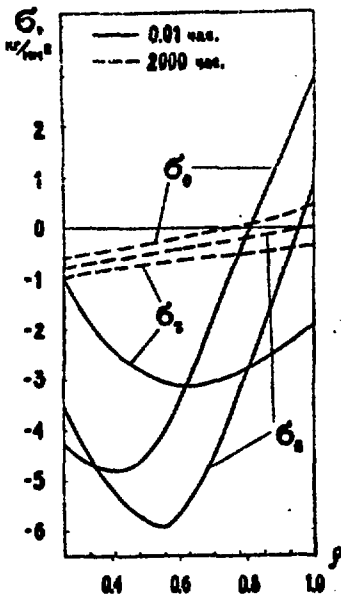


Рис. 4. Распределение напряжений по сечению полого сердечника стержневого твэла.

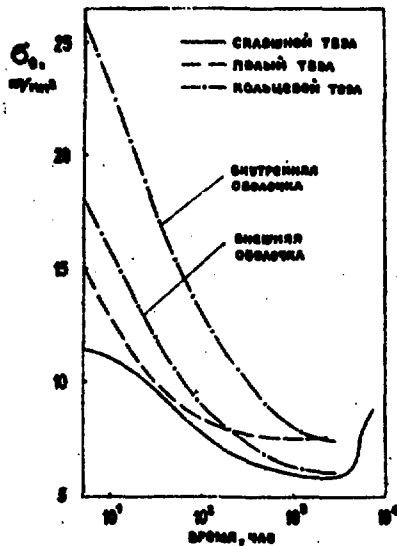
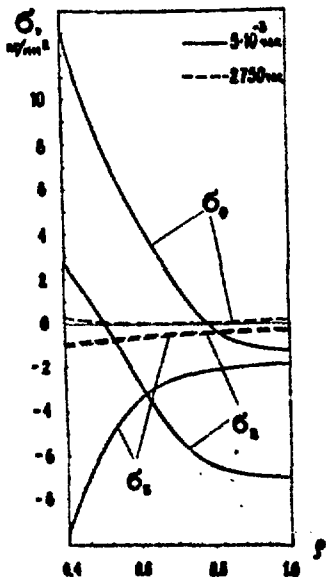


Рис. 6. Зависимость напряжений в оболочках твэлов от времени.

Рис. 5. Распределение напряжений по сечению сердечника кольцевого твэла.



ФЭИ-74I Т-0734I от 20/IV-1977 г. Объем 0,5 уч.-изд.л. Тираж 122 экз.  
Цена 5 коп. Заказ № 386

---

Отпечатано на ротационной ФЭИ; июль 1977 г.